# 個別要素法によるポリウレア樹脂塗膜コンクリート円柱供試体の高速載荷解析

防衛大学校 学生会員 足立 国明 学生会員 原木 大輔 正会員 香月 智 ジャスト・フィット・マテリアル(株) 福井 秀平

### 1.緒 言

コンクリート構造物が衝撃荷重を受けると,コンクリート 片の飛散によって構造物内外部の人命および財産を脅かす二 次被害の可能性があるが,それらの安全対策については確立 されていない.そこで,著者らは近年コンクリートの補修・ 保護に使用されているポリウレア樹脂に着目し,その飛散抑 止効果について検証するため,コンクリート円柱供試体にポ リウレア樹脂を 1mm および 2mm 塗膜したものについて高速 載荷実験を実施して,ポリウレア樹脂が飛散片の発生を抑止 できることを確認した 1).このような基礎的実験成果をより 実用的な技術に高めるには,適切な応答予測もしくは設計技 術の開発が望まれる.そこで本研究は,三次元個別要素法に よるポリウレア樹脂塗膜コンクリート供試体の高速載荷シミ ュレーションを試み,実験結果と比較検討したものである.

#### 2.解析手法および手順

原木らは,三次元個別要素法の解析プログラムを作成し,高速載荷を受けるコンクリート円柱供試体の破片飛散シミュレーションを試みており,高速載荷時の荷重 - 変形関係および破片の飛散現象を良好にシミュレートできることを示している <sup>2)</sup> . 原木らの提案する三次元個別要素法による手法をベースとし,原木らの解析モデルにポリウレア樹脂塗膜を模した要素を付加して,解析を試みた.まず, ポリウレア樹脂塗膜のない無補強のコンクリート供試体の高速載荷解析を行い,実験結果と比較して解析パラメータの同定をした後,ポリウレア樹脂塗膜供試体の高速載荷解析を行い,実験結果と比較して,塗膜による効果について検討した.

### 3.無補強コンクリート供試体の高速載荷解析

要素の配列モデルは,直径 10mm の球形要素を図-1 に示すように組み上げた細密充填配列である.また,上端の層に接するように平面要素を配置し,実験時と同条件で時間制御される速度で下方に変位を与えて載荷を表現している.

解析パラメータを設定するにあたり,解析に使用したパラメータを表-1 に示す.軟化勾配の補正係数  $\alpha_1$  , $\alpha_2$  は,実験に同定して決定する必要がある.図-2 に $\alpha_1$  , $\alpha_2$ をパラメトリックに変化させた場合の解析結果を実験値と比較して示す.  $\alpha_1$  =0.05, $\alpha_2$  =0.04 とすると概ね実験結果を再現できることがわかる.

図-3 に $\alpha_1$ =0.05,  $\alpha_2$ =0.04 の条件で行った解析の飛散状況の一例を示す.大きさにばらつきのある破片が生成し,飛散していることがわかる.

図-4に無補強供試体の実験結果と解析結果5回分の飛散工

ネルギー~入力エネルギー関係を示す.参考までに,エネルギー変換率 0.9%,1.6%,2.3%を表す直線を合わせて示す.なお,エネルギー変換率 1.6%とは,無補強供試体の実験平均値である。飛散エネルギーは2.6~5.5Jの範囲でばらついており,実験結果のばらつきをよく再現している.また,解析結果のエネルギー変換率も,実験結果とほぼ同様の範囲に収まっており,全体として無補強供試体の飛散現象をよく再現できている.

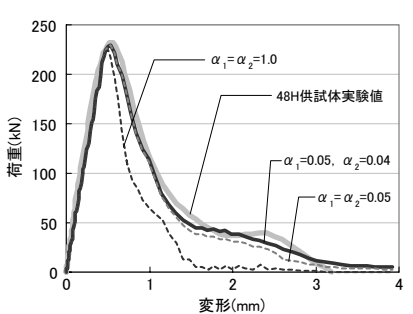
### 4. ポリウレア樹脂塗膜供試体の高速載荷解析

要素の配列モデルは,無補強供試体解析モデルの側面にポリウレア樹脂要素として,直径 10mm の球形要素をもう1重外側に巻き付けたものある.

隣接する要素間を連接するばねについては,要素の種類の組合せごとに設定する.つまり, コンクリート要素とコンクリート要素間の連接ばね, ポリウレア樹脂要素とポリウレア樹脂要素間の連接ばね, コンクリート要素とポリウレア樹脂要素間の連接ばねの3種類をそれぞれ設定する.

表-1 コンクリート解析パラメータ

ばね定数 法線方向	(N/m)	$6.88 \times 10^{7}$
接線方向	(N/m)	$3.11 \times 10^{7}$
減衰定数		0.02
粘着力	(N)	95.8
摩擦角	(°)	37.0
引張限界力	(N)	-68.4
引張破壊エネルギー	(J/m <sup>2</sup> )	43.0



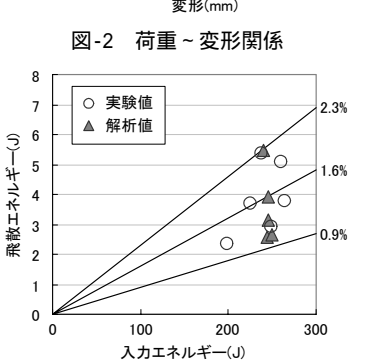


図-1 解析モデル



(a) t=0



(b) t=0.05(s)

図-2 飛散~入力エネルギー関係

図-3 高速載荷による飛散

キーワード 個別要素法,ポリウレア樹脂,高速載荷,飛散抑止

連絡先 〒239-0811 神奈川県横須賀市走水 1-10-20 防衛大学校 建設環境工学科 TEL:046-841-3810(内 3518)

図-5(a)に のポリウレア樹脂要素間連接ばね(法線方向)の構成則を示す.事前に実施したポリウレア樹脂の引張実験より得られた応力・ひずみ関係に基づき,引張側は降伏点でばね剛性が変化し,引張限界力に達すると破断するバイリニアモデルとしている.一方,圧縮側は引張初期剛性と同等のばね剛性による弾性モデルとしている.

のコンクリート要素とポリウレア樹脂要素間連接ばね (法線方向)の構成則は,図-5(b)ように引張側では の構成則に,圧縮側では の構成則に準じた構成則としている.

ポリウレア樹脂塗膜供試体解析に使用したパラメータを表-2に示す.このパラメータは要素が直線上に配列した場合に成立するものであり,本解析モデルでは,厳密には成立しない.しかし,破片がランダムに発生することからポリウレア樹脂塗膜が全体に均等に変形するのではなく,局所的に様々な変形をするので,本解析では先のような単純化した算定方法を用いている.

図-6 に塗膜厚を 1mm に設定した解析モデルの破壊挙動の 推移を示す.コンクリート要素をポリウレア樹脂要素による 塗膜内にとどめており,実験と同様の飛散片抑止が再現され ている.しかし,実験では塗膜厚 1mm の供試体で塗膜が一部 破損するものもあったが,解析では破損しておらず,完全な には再現できていない.

図-7に解析で得られた荷重~変形関係を実験結果と合わせて示す.実験では,ポリウレア樹脂塗膜により強度が大きくなることはなかったが,ポリウレア塗膜解析モデルでは,ピーク荷重が無補強供試体モデルと比較して約 20kN 大きくなっている.ピーク荷重から半分程度軟化したところまでを見ると,解析結果は実験結果と概ね一致している.それ以降の軟化域については,ポリウレア樹脂塗膜の拘束効果よる抵抗力の増加が実験と同様に現れているが,抵抗力増加の割合は実験値の半分程度となっている.また,荷重・変形関係における塗膜厚の違いによる差異はほとんど見られない.

図-8にポリウレア樹脂要素間に発生した応力の頻度分布を示す.なお,応力は引張を正として表示している.応力0付近が最も多くなっており,塗膜厚1mmと2mmの結果を比較しても大きさ差異は見られない.また,応力が破断強度に達しているものはなく,降伏応力2.5N/mm²を超えているものでもわずかであり,1mm厚モデルで4.7%2mm厚モデルで2.2%となり,大部分が弾性範囲の変形に収まっている.

実験では,一部塗膜が破れる部分も現れており,その点についてはもう少し検討が必要である.

## 5.結 言

本研究で得られた成果を以下に示す.

- (1) 無補強供試体の高速載荷解析において,荷重~変形関係, 飛散エネルギー~入力エネルギー関係を概ね再現することができた.
- (2) ポリウレア樹脂塗膜供試体の高速載荷解析における荷重~変形関係において,拘束効果により抵抗力が増大する傾向を再現することができた.
- (3) 塗膜に発生する応力の大部分が降伏応力以下となり,塗

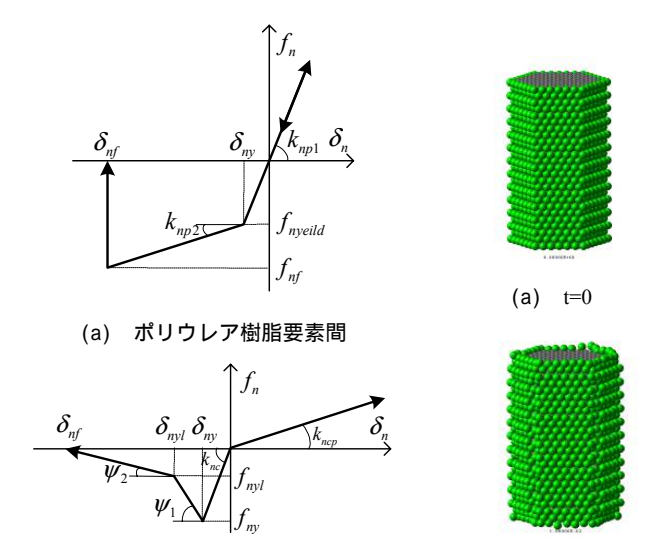
膜の破損まで再現できていないことに関しては,今後の検 討が望まれる.

### 参考文献

- 1) 足立国明,原木大輔,香月智,福井秀平:供試体の飛散 片抑止効果,コンクリート工学年次論文集,Vol.30,No.3, pp.847-852,2008.
- 2) 原木大輔,香月智,藤掛一典:個別要素法のコンクリート破片飛散シミュレーションへの応用,応用力学論文集, Vol.9,pp.667-678,2006.8.

表-2 ポリウレア樹脂解析パラメータ

ばね定数	法線方向	降伏前	(N/m)	$1.27 \times 10^4$
		降伏後	(N/m)	$8.14 \times 10^{2}$
	接線方向		(N/m)	0
減衰定数				0.02
降伏力			(N)	22.4
破断伸び			(m)	2.58×10 <sup>-2</sup>



(b) コンクリート - ポリウレア樹脂要素間

図-5 法線方向ばねの構成則

(b) t=0.01(s)

図-6 破壊挙動の推移

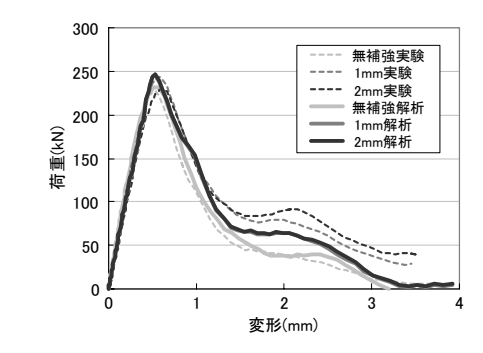


図-7 荷重~変形関係(ポリウレア樹脂塗膜)

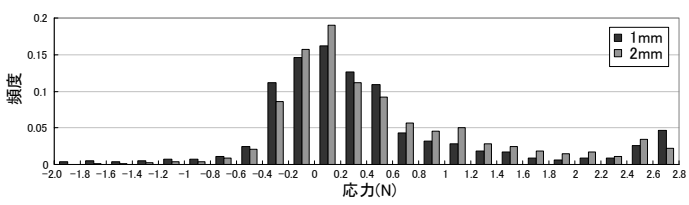


図-8 応力頻度分布